

Fast and Scalable Reachability Queries on Graphs by Pruned Labeling with Landmarks and Paths

@Authors: Yosuke Yano, Takuya Akiba, Yoichi Iwata, Yuichi Yoshida

@Published in: ACM International Conference on Conference on I..., 2013 :1601-1606

@Presented by: Yina Lv , Time: Oct 26, 2018

@Action: October 21, 2018 9:00 PM

Schema

- pruned landmark labeling
- pruned path labeling

1.Introduction

1.1 背景介绍

- 目前，大型图形数据的出现，提出了很多索引方案。但是，由于当前最先进的方法存在可伸缩性或查询时间过长的缺点，可伸缩性查询的有效处理仍然是一个巨大的问题。最经典的方法之一是压缩传递闭包，但是空间复杂度高。
- 预先计算每个节点的标签，以便可以从两个节点的标签中回答可达性查询。这种方法很有用，因为在获得小标签后，它们可以获得快速查询和较小的索引大小。然而，计算这样的标签一直是具有挑战性且非常昂贵的，因此限制了该方法的可扩展性。
- 什么是可达性查询(reachability queries)?
给定一个有向图 $G=(V, E)$ ，回答是否存在从节点 s 到 t 的有向路径。若存在，即可达；若不存在，既不可达。这是图最基本和最重要的操作之一。
eg: 在SPARQL和XQuery查询引擎中，这是回答用户查询的基本构件之一。在计算生物学中，它被用来表示和分析分子和细胞的功能。在程序分析中，它实现了精确的过程间数据流分析。

1.2 本文工作

- 注意！！本文是针对有向图而提出的。
- 本文提出了一种新的labeling-based的可达性查询方法，即修剪地标标记和修剪路径标记。
- 由于它们都是基于标记的方法，所以它们实现了快速的查询时间和较小的索引大小，它们的索引算法比以前的算法效率要高得多，克服了基于标记的方法的可伸缩性的缺点，并在

查询时间、索引大小和可伸缩性之间实现了显著的权衡，这是以前的方法所无法做到的。

修剪地标标记和剪枝路径标记的新索引算法

- 剪枝标记采用2-hop，剪枝路径标记采用3-hop。
- 例如，虽然最短路径查询方法是针对社交网络和web图等网络而设计的，但我们设计了适用于实际有向无环图的方法。
- 此外，修剪路径标记的索引算法本质上是一种新算法，它只需一次修剪搜索就可以从路径中的所有节点计算标签条目。

符号：设 $G = (V, E)$ 为有向图。顶点的数量 $|V|$ 和边数 $|E|$ 分别由 n 和 m 表示。对于两个顶点 $s, t \in V$ ，如果存在从 s 到 t 的路径，则将 $\text{reach}(s, t)$ 定义为 true ，否则为 false 。可达性查询 (s, t) 询问 $\text{reach}(s, t)$ 是否为真。用 $d_{\text{IN}}(v)$ 和 $d_{\text{OUT}}(v)$ 表示 v 的 indegree (入度)和 outdegree (出度)

强连接组件：我们可以放心假设输入图始终是有向无环图 (DAG)。注意， G 的强连通分量 (SCC) 中的所有顶点在可达性方面是等价的，因为它们彼此可达。因此， G 可以通过 SCC 转换为 DAG，并且保留顶点之间的可达性信息。

问题定义：问题是为给定的 DAG $G = (V, E)$ 预先计算一些索引，并通过使用索引快速回答到达能力查询，并在必要时快速回答 DAG。我们假设在索引之后给出所有可达性查询。也就是说，我们无法为特定的查询集创建特殊的索引。

2. PRUNED LANDMARK LABELING

给定一个 DAG $G=(V,E)$, 我们对于每个节点 v 创建的两个标签 $L_{\text{OUT}}(v)$, $L_{\text{IN}}(v)$

对于一个查询 (s, t) ，返回查询 $\text{QUERY}(s, t, L_{\text{OUT}}, L_{\text{IN}})$:

- $\text{QUERY}(s, t, L_{\text{OUT}}, L_{\text{IN}})$ 为 true ， $L_{\text{OUT}}(s)$ 和 $L_{\text{IN}}(t)$ 之间为非空交叉，否则，为 false
对每个 $s, t \in V$ ，构造 L_{OUT} 和 L_{IN} ，保持 $\text{QUERY}(s, t, L_{\text{OUT}}, L_{\text{IN}}) = \text{reach}(s, t)$
- $|s| = |L_{\text{OUT}}(s)|$ ， $|t| = |L_{\text{IN}}(t)|$
- 原始的算法时间复杂度为 $O(|s| \cdot |t|)$ ，若是排序好的， $O(|s| + |t|)$

为了简单起见，我们首先描述了一种在不剪枝的情况下构造 L_{OUT} 和 L_{IN} 的算法，然后讨论了一种具有剪枝的算法。

2.1 Naive Algorithm

设 $V = \{v_1, \dots, v_n\}$ 为顶点集。我们通过按这个顺序处理 v_1, \dots, v_n 来逐步构造标签。

- 首先，初始化节点 v 的入标签集和出标签集均为空集： $L_{\text{OUT}}^0(v) = L_{\text{IN}}^0(v) = \emptyset$
- 假设我们计算得到了 L_{OUT}^{k-1} 和 L_{IN}^{k-1} ，那么进行 v_k 为顶点的 BFS，若在 BFS 过程中经过了节点

v , 那么 $L_{IN}^k(v) = L_{IN}^{k-1}(v) \cup \{v_k\}$, 否则 $L_{IN}^{k-1}(v)$ 。同理, 通过 reversed BFS 可计算 L_{OUT}^k

我们使用 L_{OUT}^n 和 L_{IN}^n 来回答可达性问题。显然, 它们满足这个查询 $QUERY(s, t, L_{OUT}, L_{IN}) = reach(s, t)$, 因为每个顶点都有关于它可以到达哪个顶点的所有信息, 并且也有哪些节点可以达到它的信息。我们还注意到, $QUERY(s, t, L_{OUT}^k, L_{IN}^k) = true$ 当且仅当从 s 到 t 有一条路径通过 v_1, \dots, v_k 中的一个。

2.2 Pruned Landmark Labeling

上述方法时间复杂度为 $O(nm)$, 在修剪标志标记中, 我们通过修剪节点来阻止 BFSs。假设我们在 BFS 期间从一个节点 v_k 访问一个节点 v , 并且可以通过现有的标签显示 v 可以从 v_k 访问, 也就是说, 查询 $QUERY(v_k, v, L_{OUT}^{k-1}, L_{IN}^{k-1})$ 是真的。同理可得, $QUERY(v, v_k, L_{OUT}^{k-1}, L_{IN}^{k-1})$ 也是真的。

对于最短路径查询, 修剪标记的性能在很大程度上取决于节点排序。因此, 为了修剪更多的节点, 我们希望找到一个节点排序 v_1, \dots, v_n , 使得大多数可达对 (s, t) 满足在排序中可以通过一个早期节点到达 t 。采用的策略是对节点依据 $(d_{IN}(v)+1) \times (d_{OUT}(v)+1)$ 进行降序排序。我们知道在 BFS 中, 先找到的节点距离最近, 路径最短。

3. Pruned path Labeling

3.1 概述

注意: 对于下面这些细节处理方面不懂的, 可以看 3.1.1 所讲的内容

修剪路径标记的想法是迭代地选择路径并从这些路径进行 BFS。与修剪地标标记的主要区别在于我们使用路径而不是节点来进行 BFS。然后, 我们存储哪些节点可以到达这些路径, 或者可以从这些路径到达。如果给出了一个查询 (s, t) , 找到一条用两个节点 u, v 选择的路径, 这样就有一个形式为 $s - u - v - t$ 的路径。从这个意义上讲, 我们的方法可以看作是一个 3-hop cover, 详细情况如下:

Pruned path Labeling

对于给定的 DAG = (V, E), 取 l 条路径: P_1, P_2, \dots, P_l , 使得 $\bigcup_{k=1}^l P_k = V$

用 $\{v_{k,1}, v_{k,2}, \dots, v_{k,p_k}\}$ 表示路径 P_k 所包含的节点, $p_k = |P_k|$ 即 P_k 中的节点数
 $v_{k,i}$ 这里采用了一个二维标记, 表示第 k 条路径第 i 个节点
 构造两种标记, $L_{OUT}(v), L_{IN}(v) \subseteq N \times N$

据推测, 如果 $(i, j) \in L_{OUT}(v)$, $v \rightarrow v_{ij}$, 那么 v 可到达 v_{ij}

如果 $(i, j) \in L_{IN}(v)$, $v_{ij} \rightarrow v$, 那么 v_{ij} 可到达 v

假设 v 可到达 v_{ij} 对某个 i, j . 那么 v 能到达每一个 $v_{ij'}$, 其中 $j \leq j' \leq p_i$.

为什么? 由于 v_{ij} 可通过 P_i 到达 $v_{ij'}$, 也就是说 $v_{ij}, v_{ij'}$ 在同一条路径 P_i 上, 当然可达

因此, 我们可以选最小的 j_{min} , 使 v 能到达 v_{ij} 仅当 $j_{min} \leq j \leq p_i$

\Rightarrow 对任何节点 $v \in V$ 和 i , 在 $L_{OUT}(v)$ 中只需存储 (i, j_{min}) , 以表示在路径 P_i 中, 从 v 出发的节点, 可达性.

同样, 对任何节点 $v \in V$ 和 i , 我们也只需存储 (i, j) 在 $L_{IN}(v)$ 中.

对于路径而言, 路径上的每个节点之间都是可达的, 所以上图中, 我们选择在 L_{OUT} 存储 (i, j_{min}) 来表示路径 P_i 中, 对于 v 出发的节点的可达性. 也就是说, v 可到达 $v_{i, j_{min}}, \dots$

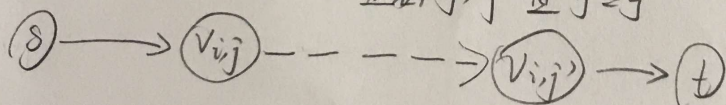
v_{i, p_k} 之间的所有节点.

对于任何一个查询 (s, t) , 返回查询 (s, t, L_{OUT}, L_{IN}) :

$$\text{QUERY}(s, t, L_{OUT}, L_{IN}) = \begin{cases} \text{true} & \text{if } \exists i, j, j' \in N \text{ s.t. } j \leq j', \\ & (i, j) \in L_{OUT}(s), \\ & (i, j') \in L_{IN}(t), \\ \text{false} & \text{otherwise.} \end{cases}$$

上述公式为 true 的情况是:

当且仅当有一条路径 P_i , 两个整数 j, j' 且 $j \leq j'$



为什么 $j \leq j'$? 考虑, 这是一个有向图, 路径 P_i 是有方向的. $v_{i,1} \rightarrow v_{i,2} \rightarrow \dots \rightarrow v_{i,p_i}$

如果 $L_{OUT}(S)$ 和 $L_{IN}(T)$ 按路径索引排序好了，通过类合并排序算法(merge-sort-like algorithm)可计算得到上述查询的时间复杂度为 $O(|L_{OUT}(s)| + |L_{IN}(t)|)$

3.1.1 标签构建

讲解如何创建标签 L_{OUT} 和 L_{IN} 。

1.下面给出的是原始算法：

Algorithm 1 Conduct pruned BFSs from P_k

```

1: procedure PRUNEDBFS( $G, P_k, L_{OUT}^{k-1}, L_{IN}^{k-1}$ )
2:    $p \leftarrow$  the number of vertices in  $P_k$ 
3:    $L_{OUT}^k[v], L_{IN}^k[v] \leftarrow L_{OUT}^{k-1}[v], L_{IN}^{k-1}[v]$  for all  $v \in V$ 
4:    $Q \leftarrow$  an empty queue
5:    $U \leftarrow \emptyset$ 
6:   for  $i \leftarrow p \dots 1$  do
7:      $s \leftarrow P_k[i]$ 
8:     Enqueue  $s$  onto  $Q$ 
9:     while  $Q$  is not empty do
10:      Dequeue  $v$  from  $Q$ 
11:       $U \leftarrow U \cup \{v\}$ 
12:      if QUERY( $s, v, L_{OUT}^{k-1}, L_{IN}^{k-1}$ ) is false then
13:         $L_{IN}^k[v] \leftarrow L_{IN}^k[v] \cup \{(k, i)\}$ 
14:        for all  $u \in \text{children}(v)$  do
15:          if  $u \notin U$  then
16:            Enqueue  $u$  onto  $Q$ 
17:    $U \leftarrow \emptyset$ 
18:   for  $i \leftarrow 1 \dots p$  do
19:      $s \leftarrow P_k[i]$ 
20:     Enqueue  $s$  onto  $Q$ 
21:     while  $Q$  is not empty do
22:      Dequeue  $v$  from  $Q$ 
23:       $U \leftarrow U \cup \{v\}$ 
24:      if QUERY( $s, v, L_{OUT}^{k-1}, L_{IN}^{k-1}$ ) is false then
25:         $L_{OUT}^k[v] \leftarrow L_{OUT}^k[v] \cup \{(k, i)\}$ 
26:        for all  $u \in \text{parents}(v)$  do
27:          if  $u \notin U$  then
28:            Enqueue  $u$  onto  $Q$ 
29:   return ( $L_{OUT}^k, L_{IN}^k$ )

```

按照(P_1, P_2, \dots, P_l)的顺序来构造BFS过程。

L_{out}^k 和 L_{in}^k 来表示 P_k 最后得到的节点标签集

定义 $L_{out}^k(v)$ 和 $L_{in}^k(v)$ 为 \emptyset , 假设我们已经构造了 $L_{out}^{k-1}, L_{in}^{k-1}$,

$\Rightarrow L_{out}^k$ 和 L_{in}^k

步骤:

1. 在 P_k 中, 对节点降序排序, 即 $v_{k,p_k} \dots v_{k,1}$

对 $v_{k,j}$ 进行 BFS,

如果 v 被访问, 那么 $L_{in}^k = L_{in}^{k-1}(v) \cup \{(k,j)\}$

否则 $L_{in}^k = L_{in}^{k-1}(v)$

且不必对之前 BFS 中已访问过的节点再次访问 (k,j') 已访问, 其中 $j' \geq j$

况且此时我们要求 L_{in} , 那些在 P_k 上已访问过的节点是指出去的。

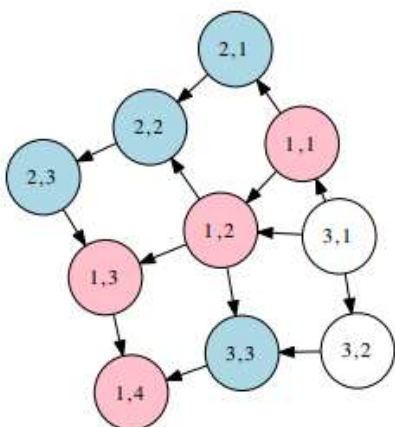
2. 同理, 升序排序 $v_{k,1}, \dots, v_{k,p_k}$ 可得 $L_{out}^k = \begin{cases} L_{out}^{k-1}(v) \cup \{(k,j)\} \\ L_{out}^{k-1}(v) \end{cases}$

上图为什么要降序或升序排序呢?

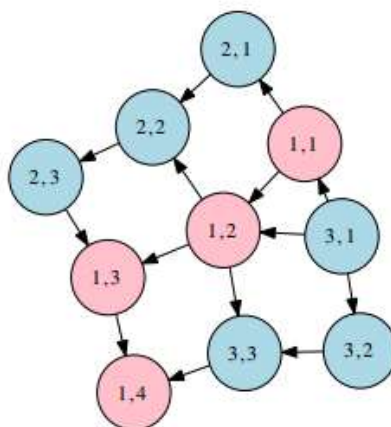
例如降序排序时求 L_{in} , 由于在一条路径上, 标号小的节点可到达标号大的节点。因此标号小的节点包括了标号大的节点为出发点去遍历寻找 v 的情况。

2. 引入剪枝来改进上述算法

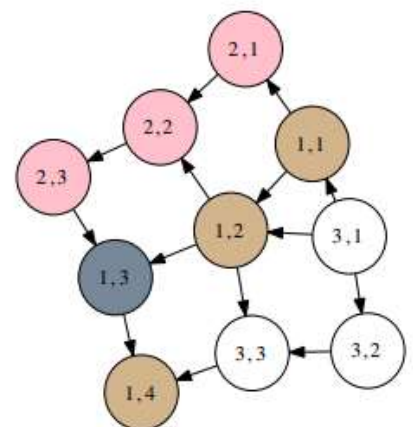
这个想法和 `pruned landmark labeling` 类似。



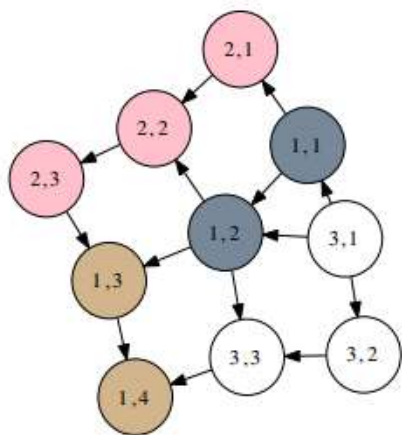
(a) a BFS from P_1



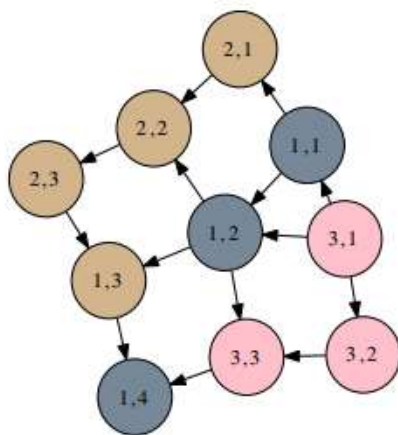
(b) a reversed BFS from P_1



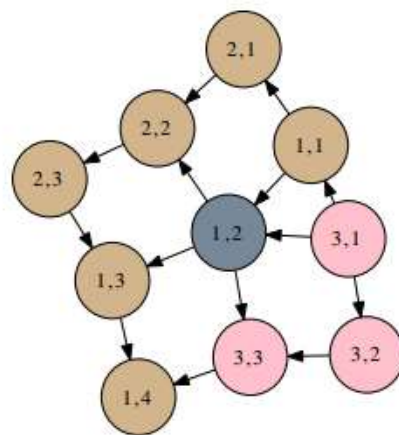
(c) a BFS from P_2



(d) a reversed BFS from P_2



(e) a BFS from P_3



(f) a reversed BFS from P_3

上图是剪枝路径标记的一个例子。顶点颜色表示其状态：红色 是BFSs的起点，蓝色 是被搜索的顶点，灰色 是被剪枝的顶点，而褐色 是已经使用过的起点。

假设我们处理 v 从 $v_{k,j}$ 开始 BFS
 $QUERY(v_{k,j}, v, L_{OUT}^{k-1}, L_{IN}^{k-1}) = true$ 删除 v , 也就是 stop BFS at v .
 在 reversed BFS 中, $QUERY(v, v_{k,j}, L_{OUT}^{k-1}, L_{IN}^{k-1})$
 这一过程是为了查看在之前的 BFS 中, 是否已经处理过 v 和 $v_{k,j}$ 之间的关系。

每次 BFS 时, 将路径上的节点作为标签加入特定节点在这条路径上的 L_{OUT} 。

上图具体操作如下:

$$P_1 = \{v_{1,1}, v_{1,2}, v_{1,3}, v_{1,4}\}$$

$$P_2 = \{v_{2,1}, v_{2,2}, v_{2,3}\}$$

$$P_3 = \{v_{3,1}, v_{3,2}, v_{3,3}\}$$

P_1 : 如图 (a)

依次以 $v_{1,4}, v_{1,3}, v_{1,2}, v_{1,1}$ 为起始点 BFS $\Rightarrow L_{IN}'$

(1,2) 加入 $L_{IN}'(v_{2,2}), L_{IN}'(v_{2,3}), L_{IN}'(v_{3,3})$

(1,1) 加入 $L_{IN}'(v_{2,1})$

在 P_1 过程中没有剪枝产生。

反转 BFS 如图 (b)

Reverse BFS 可以将箭头反过来看。

依次以 $v_{1,1}, v_{1,2}, v_{1,3}, v_{1,4}$ 为起始点 BFS $\Rightarrow L_{OUT}'$

(1,3) 加入 $L_{OUT}'(v_{2,3})$

P_2 : 在 $v_{2,3}$ 为起始点 BFS 时, $v_{1,3}$ 被访问, 此时发出查询 $QUERY(v_{2,3}, v_{1,3}, L_{OUT}', L_{IN}')$
可查询得 $QUERY(\dots) = \text{True}$. 且 $(1,3) \in L_{OUT}'(v_{2,3})$.
那么, $v_{1,3}$ 剪枝, 并且不必再接着从 $v_{1,3}$ 查询, 这一分支到此停止。
以此类推...

采用路径而不是顶点的潜在缺点是它可能会增加索引大小。这是因为标签中的每个元素都是一对整数（路径索引和路径中顶点的索引）而不是一个整数（顶点数），也不是修剪的地标标记。因此，如果我们找不到 **长路**，我们就没有任何好处。而且，通过长路径覆盖所有顶点实际上是困难的。为了解决这些问题，我们将这两种方法结合起来。也就是说，对于某些常数 $a \geq 0$ ，我们从路径执行修剪的路径标记，然后从剩余的顶点执行修剪的地标标记。此外，如果路径的长度小于 b ，我们将停止取路径。从初步实验中，我们决定在接下来讲述的实验中选择 $a = 50$ 和 $b = 10$ 。

3.2 路径选择

顶点排序策略在很大程度上影响了修剪的标记标记的性能。相应地，修剪的有效性应取决于如何选择修剪路径标记中的路径。我们通过实证比较了一些路径选择策略，发现 **DPIInOut** 策略在其中表现最好。

下面介绍 DPIInOut:

1. 给每个节点 v 赋值，如果 v 没有被选择作为路径的一部分($d_{IN}(v)+1$) \times ($d_{OUT}(v)+1$)，否则的话，为0。
2. 在DAG中，通过动态规划，选择节点值加起来最大化的路径。选择50个路径后，我们按InOut排序剩余的顶点。DPLnOut背后的想法是尽可能多地选择包含重要顶点的路径。

4.实验

将修剪地标landmark标记 (PLL) 和修剪路径标记 (PPL) 与三种现有技术 GRAIL , interval list (IL) 和 PWAH 进行比较。根据 查询时间 , 索引大小 和 索引时间 来评估这些方法。作为查询时间，我们使用超过一百万个随机查询的平均时间。

GRAIL是一种 图形遍历方法 , 它利用随机DFS创建的标签，以及用于可达性查询的内存效率最高的方法之一。IL和PWAH是 构造压缩传递闭包的方法 , 它们被证明是在大图上回答可达性查询的最快方法。我们将GRAIL的参数 k 设置为2。所有算法都使用标准模板库 (STL) 在C++中实现。

使用了具有超过一百万个节点的真实网络，节点和边的数量（在收缩SCC之后）如表1所示。

Table 1: Real-world datasets

Dataset	$ V _{SCC}$	$ E _{SCC}$
ff/successors	1,858,504	2,009,541
citeseerx	6,540,399	15,011,259
cit-patents	3,774,768	16,518,948
go-uniprot	6,967,956	34,770,235
uniprot22m	1,595,444	1,595,442
uniprot100m	16,087,295	16,087,293
uniprot150m	25,037,600	25,037,598

Table 3: Index size (MB)

Dataset	PLL	PPL	GRAIL	IL	PWAH
ff/successors	122.3	91.6	29.7	40.0	34.1
citeseerx	122.0	126.7	104.6	441.3	156.0
cit-patents	664.6	691.2	60.4	22444.5	5593.1
go-uniprot	263.1	273.5	111.5	792.7	255.9
uniprot22m	19.4	19.4	25.5	19.6	19.5
uniprot100m	206.8	206.8	257.4	223.0	218.8
uniprot150m	334.0	334.0	400.6	373.8	366.2

Table 2: Average query time (μs)

Dataset	PLL	PPL	GRAIL	IL	PWAH
ff/successors	0.085	0.133	0.279	0.154	0.202
citeseerx	0.124	0.164	27.946	0.103	0.214
cit-patents	0.253	0.296	11.591	0.292	15.451
go-uniprot	0.156	0.194	0.520	0.233	0.521
uniprot22m	0.083	0.122	0.403	0.173	0.243
uniprot100m	0.133	0.197	0.743	0.292	0.361
uniprot150m	0.153	0.223	0.776	0.248	0.351

Table 4: Indexing time (sec)

Dataset	PLL	PPL	GRAIL	IL	PWAH
ff/successors	10.46	8.19	1.08	7.84	5.02
citeseerx	23.13	45.42	7.65	6.70	16.03
cit-patents	192.05	239.95	8.24	397.04	847.83
go-uniprot	26.60	29.74	5.78	18.33	31.10
uniprot22m	2.82	3.02	0.96	0.96	1.23
uniprot100m	30.80	32.99	12.39	10.64	14.39
uniprot150m	49.48	53.56	20.52	17.21	24.16

ff/successors : 这是用于Firefox源代码分析的图表。

citeseerx, cit-patents : 这些是来自CiteSeerX1和美国专利2的引用网络。

go-uniprot : 这是来自UniProt3的GeneOntology术语和注释文件的联合图。

uniprot22m , uniprot100m 和 uniprot150m : 这些是来自UniProt数据库的RDF图。

我们注意到这些图的基础图非常接近树。

我们还在更大的合成图上进行了实验，以显示我们方法的可扩展性。

合成图创建：

首先随机确定1000万个节点的拓扑顺序，然后随机连接两个不相邻的节点 $|I|$ 次，其中 $|I|$ 为参数。请注意，每条边的方向由拓扑顺序唯一确定。

4.1 真实世界网络的性能

首先，将PLL和PPL与现实网络上的现有方法进行了比较。表2,3和4显示了我们实验的总和。

表2显示了实际网络上的查询时间。PLL和PPL通常优于所有其他方法。IL在citeseerx上表现也相当不错，但在很多情况下，PLL的速度比IL快两倍。这可能是因为标签的紧凑性和PLL的查询处理过程的简单性。PPL比PLL略慢，因为通过PPL回答查询比PLL更复杂一些。PWAH和GRAIL在非常稀疏的图上具有可比性，但在其他图上它们变得非常慢。

表3表明PLL和PPL的索引大小是合理的，尽管毫无疑问GRAIL是最节省内存的方法。在uniprot22m, uniprot100m和uniprot150m, PLL和PPL表现最佳，但这些数据集的差异不是很大。这可能是由于这些图的稀疏性，这使得通过使用IL或PWAH更容易压缩传递闭包。IL和PWAH在ff/successors上的性能优于PLL和PPL。另一方面，PLL和PPL在citeseerx和cit专利上优于IL和PWAH。PLL和PPL的指数大小约为IL的3%和PWA的12%。我们可以说PLL和PPL在实验中所有图形上只占用中等空间（小于1GB）的意义上是健壮的。

PLL和PPL之间的区别？

PLL在大多数情况下比PPL稍微更节省空间，因为我们需要两个整数来表示标签PPL中的每个元素，而我们在PLL中只需要一个整数。然而，ff/successors的结果表明，在某些情况下，PLL有可能以比PPL更有效的方式表示可达性。

表4显示了真实网络上的索引时间。GRAIL在索引时间内不断表现出很好的性能，因为标签中的元素数量在顶点数量上是线性的。仍然，PLL和PPL的索引时间是可接受的，而它们相对较慢。在Cit-patent上，它们甚至比IL和PWAH更快。这表明PLL和PPL在大而温和的密集图上运行良好。IL除了在cit-patents表现相当不错，而PWAH需要的时间比IL高约1.5至2.5倍。

4.2 合成图的性能

其次，我们将PLL和PPL与合成图上的现有方法进行了比较。

合成图上的 ， 和 如图2所示。这些合成图具有一千万个节点，边数范围从二千万到五千万。注意，这些图是用对数刻度的y轴绘制的。

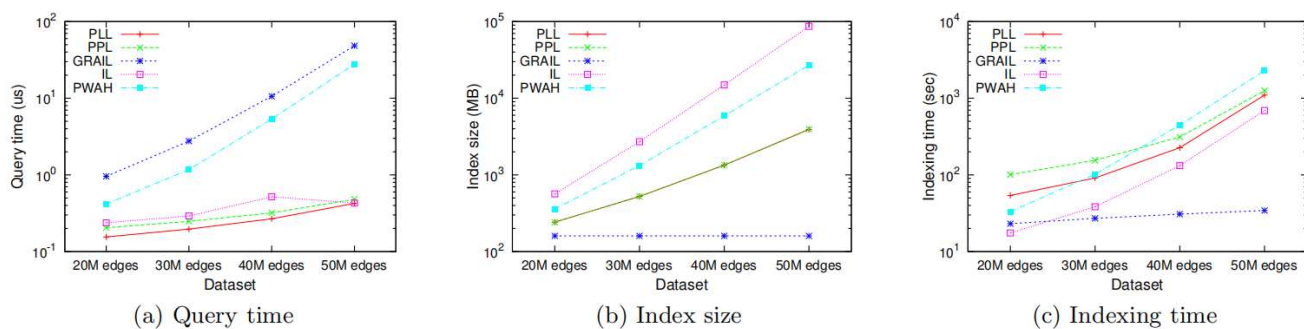


Figure 2: Performance comparison on synthetic graphs. GRAIL answers queries slowly, and IL and PWAH consume large index space, while our PLL and PPL achieve remarkable trade-offs.

图2a显示PLL和PPL实现非常快的查询时间。PLL, PPL和IL的查询时间随着边缘数量的增加而非常缓慢地增加, 即使在具有5000万边缘的图形上也在一英里内。另一方面, GRAIL和PWAH的查询时间增长很快, 并且在该图上超过10微秒。

图2b中, 随着图形变得密集, IL和PWAH的索引大小急剧变大。PLL和PPL的索引大小增长相对缓慢, GRAIL的索引大小不会因边数而变化。

图2c显示GRAIL在索引时间方面优于其他方法, 尤其是在相对密集的图上。PLL和PPL在非常稀疏的图上相对较慢。然而, 当图形变得密集时, 这两种方法超过IL和PWAH。

总的来说, 我们可以说PLL和PPL在 **相对密集的图** 上优于其他方法, 实现了 **非常快的查询时间** 和 **适中的索引大小**。在密集图上, IL和PWAH的索引大小变得非常大, 并且GRAIL和PWAH的查询时间在这些图上变得非常慢。这些实验结果表明, PLL和PPL有可能处理比我们在实验中使用的更大的实际网络。